

**Технологии “bottom-up” в
радиационной химии.
Радиационно-химический синтез
наночастиц, нанокомпозитов и
наногелей.**

Общая характеристика

- Излучение поглощается в основном растворителем или матрицей (отличие от фотохимии)
- «Кирпичики» получаются за счет реакций первичных интермедиатов, генерируемых в растворителе (гидратированные электроны, атомы водорода, радикалы), с растворенным веществом
- Гомогенное зародышеобразование (условно)
- Тип и параметры излучения влияют на размеры и распределение наноструктур

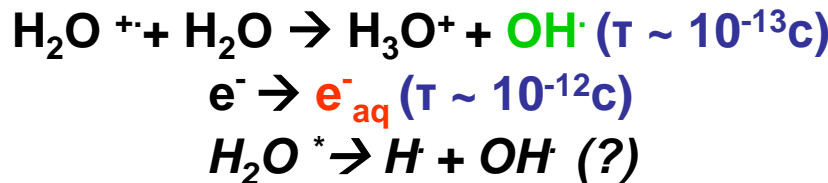
Радиационно-химическая сборка наноструктур в растворах и гелях: химия без реагентов ?

- Восстановление ионов металлов → формирование металлических наночастиц
- Окислительные процессы, формирующие кластеры и наночастицы
- Локальное сшивание полимеров с образованием микро- и наногелей
- Преимущества:
 - генерация эффективных восстановителей и окислителей (ионы, радикалы) в объеме раствора
 - чистота материала
 - контроль: возможность «on/off switching»
 - возможность контроля размера, формы и распределения путем настройки «параметров» процесса

Механизм радиолиза воды



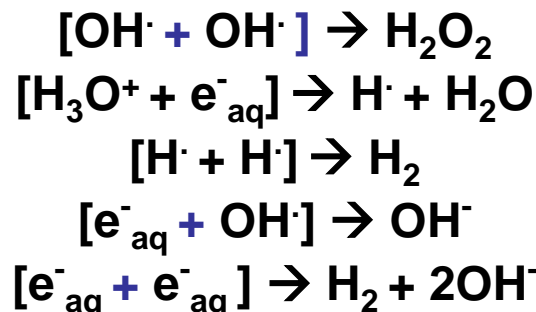
«Сверхбыстрые» реакции (процессы в субпикосекундном диапазоне)



«Начальные» радиационно-химические выходы, частиц /100 эВ (~ 10⁻¹² с):

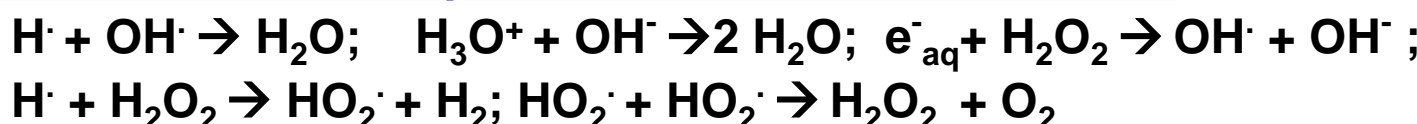
$$G(\text{e}_{\text{aq}}^\cdot) \sim 4.8; G(\text{OH}^\cdot) \sim 5.6; G(\text{H}^\cdot) \sim 0.6$$

Реакции в «шпорах» (τ ~ 10⁻¹² – 10⁻⁷ с) :



Радиационно-химические выходы по завершении реакций в «шпорах» (~ 10⁻⁷ с) : $G(\text{e}_{\text{aq}}^\cdot) = 2.8; G(\text{OH}^-) = 2.9; G(\text{H}_2\text{O}_2) = 0.75; G(\text{H}^\cdot) = 0.6; G(\text{H}_2) = 0.45$

Дополнительные реакции в «объеме» (τ > 10⁻⁷ с):



Радиационно-химическое восстановление ионов металлов в водных растворах: общая схема

- e^-_{aq} – уникальный химический реагент, чистый и очень эффективный восстановитель ($E^0 = -2.87$ В)



для различных комплексов $k = (0.5 - 4.0) \cdot 10^{10} M^{-1}c^{-1}$



Радикал OH^\cdot – сильный окислитель ($E^0 = 2.3 - 2.7$ В, при разл. рН)



Превращение окислителя в восстановитель



Механизм нуклеации и роста кластеров: термодинамические аспекты



Использование e^-_{aq} в качестве восстановителя позволяет реализовать **гомогенное восстановление ионов до нейтральных атомов в растворе** (большие отрицательные потенциалы), например:



Для кластеров E^0 с ростом n становится менее отрицательным в пределе $\rightarrow E^0(M^{+}_{aq}/M^0_{solid})$



Проблемы получения металлических наночастиц в растворах:

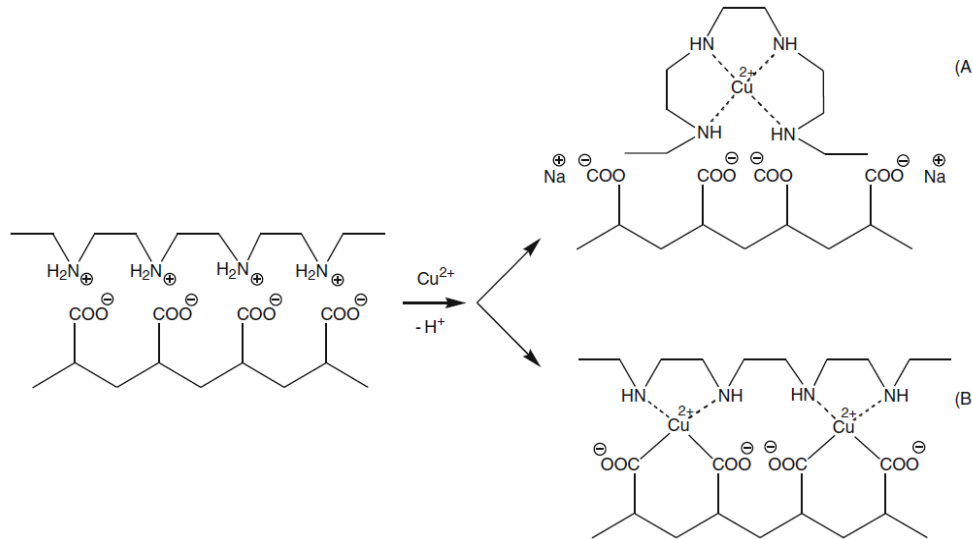
Необходимость стабилизации наночастиц (полиэлектролиты, напр., полифосфаты, поликарболовая кислота)

Формирование пленки («сухой остаток»)

Ограничение разбавленными растворами

Наличие индукционного периода

Интерполиэлектролитные комплексы – «контейнеры» для ионов металлов



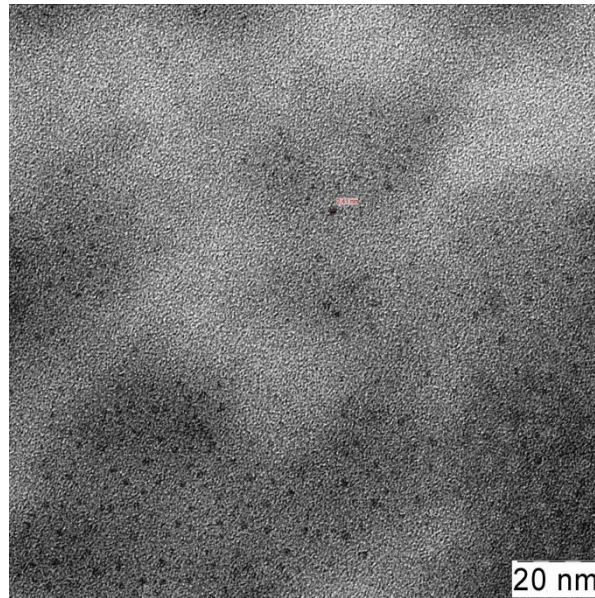
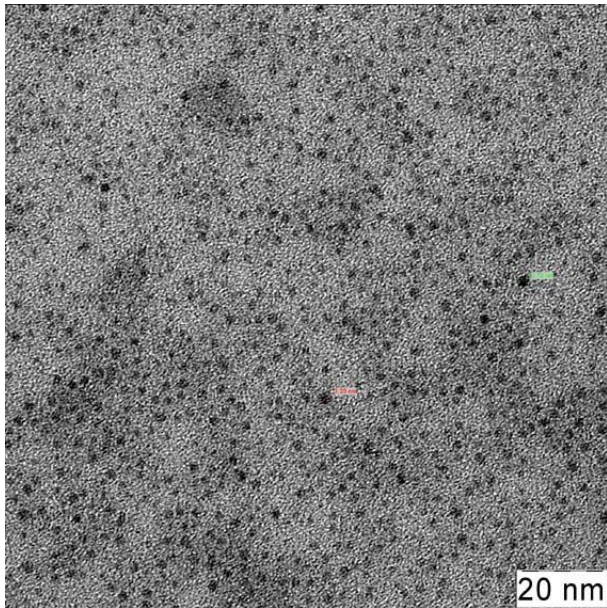
Катион	Cu ²⁺	Ni ²⁺	Co ²⁺	Fe ²⁺	Ag ⁺	Pd ²⁺
C _{max} , масс.%	27	20	20	6	22	3

Условия: облучение набухших гелеобразных пленок комплексов различного состава в водно-спиртовой (10% этианола) среде в инертной атмосфере

Контроль размеров: диффузионные ограничения плюс
электростатическая стабилизация

Потенциальные области применения нанокомпозитов:
катализ, оптические материалы, сенсоры, магнитные материалы

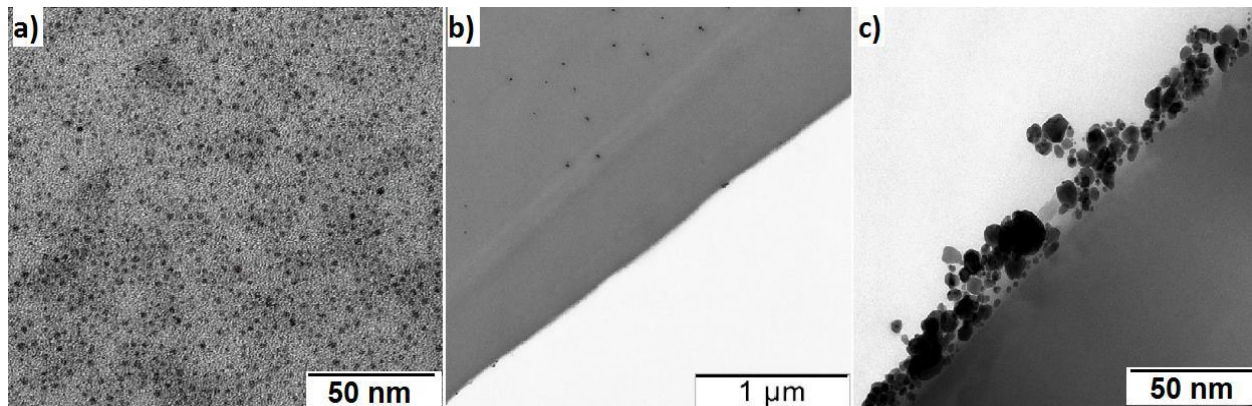
Образование наночастиц при радиационно-химическом восстановлении ионов в тройных комплексах (гамма-облучение): данные ПЭМ



- Наночастицы меди (слева) и никеля (справа) в облученных пленках интерполиэлектролитных комплексов (данные ПЭМ)
- Радиационно-химическое восстановление (**в отличие от химического**) дает наночастицы с размером 2 – 5 нм и достаточно узким распределением по размеру
- (A.A. Zezin et al., *Nucl. Instr. Meth. Phys. Res. B*, 2007, **265**, 334)

Влияние параметров излучения

1. Влияние энергии излучения (для электронов и рентгеновских лучей) → макроскопическая неоднородность $L = F(E)$ → возможность формирования градиентных структур
2. Влияние мощности дозы (конкуренция процессов нуклеации и роста наночастиц) → контроль размера наночастиц
3. Локальные эффекты, связанные с поглощением излучения («радиационно-химический контраст»)



X-ray irradiation: a heavy atom effect

- X-ray irradiation ($E \sim 20 - 40$ keV): basic mechanism – phoelectric absorption (photoeffect) – removal of a “strongly bound electron”

$$E_e = E_p - E_b$$

(E_b – energy of electron binding in the medium atoms)

For $E_p > E_K$ (E_K – the energy of K-edge) main interaction with K-electrons ($E_b \sim E_K$)

- Atomic cross section

$$\tau_a \approx kZ^4/E_p^3$$

- Mass absorption coefficient (proportional to absorbed dose)

$$\mu/\rho \sim Z^3$$

- Mostly photoelectrons with relatively low energy (below 10 keV) are produced from heavy elements

...Plus resonance absorption at $E_p \sim E_K$; interaction with L-electrons at $E_p < E_K$ (significant for $Z > 40$)

Meaning for radiation chemistry ?

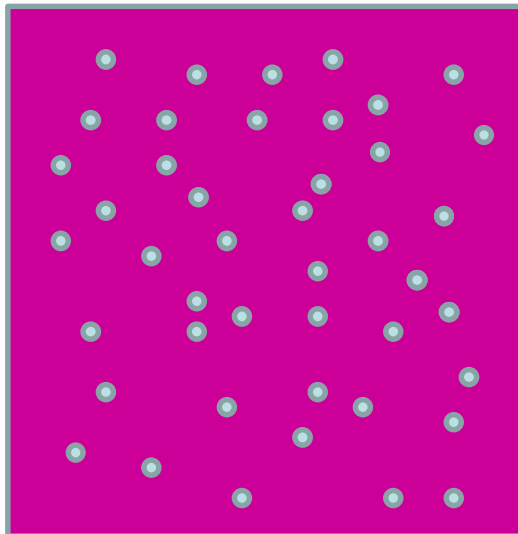
Selected mass absorption coefficients (cm^2/g)

E_p , keV	C (Z=6) $E_k < 1 \text{ keV}$	N (Z=7) $E_k < 1 \text{ keV}$	O (Z=8) $E_k < 1 \text{ keV}$	Cu (Z=29) $E_k = 9 \text{ keV}$	Ag (Z= 47) $E_k = 25.5 \text{ keV}$
30	0.066	0.10	0.17	9.3	16.6
20	0.22	0.39	0.62	28	16.9
15	0.56	0.97	1.55	58	38
10	2.08	3.5	5.6	148	115

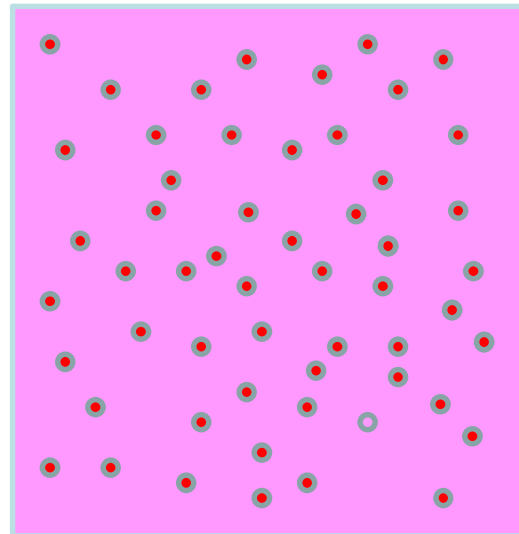
**Light blue – major interaction with K-electrons,
yellow – major interaction with L-electrons**

(taken from:Hubbel, J. H.; Settler, S. M. *Tables of x-ray mass attenuation coefficients and mass energy-absorption coefficients from 1 keV to 20 MeV for elements Z = 1 to 92 and 48 additional substances of dosimetric interest*; <http://www.nist.gov/pml/data/xraycoef.1996>)

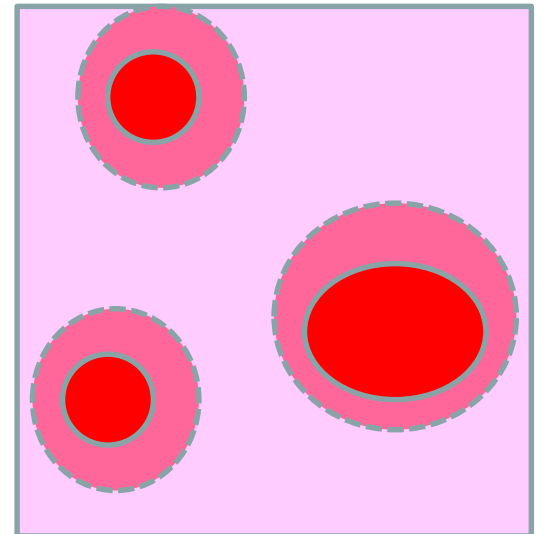
Schematic representation of microdosimetric picture



absorbing bath:
Molecular dispesion,
 $d < L_e$
**Uniform dose
distribution**

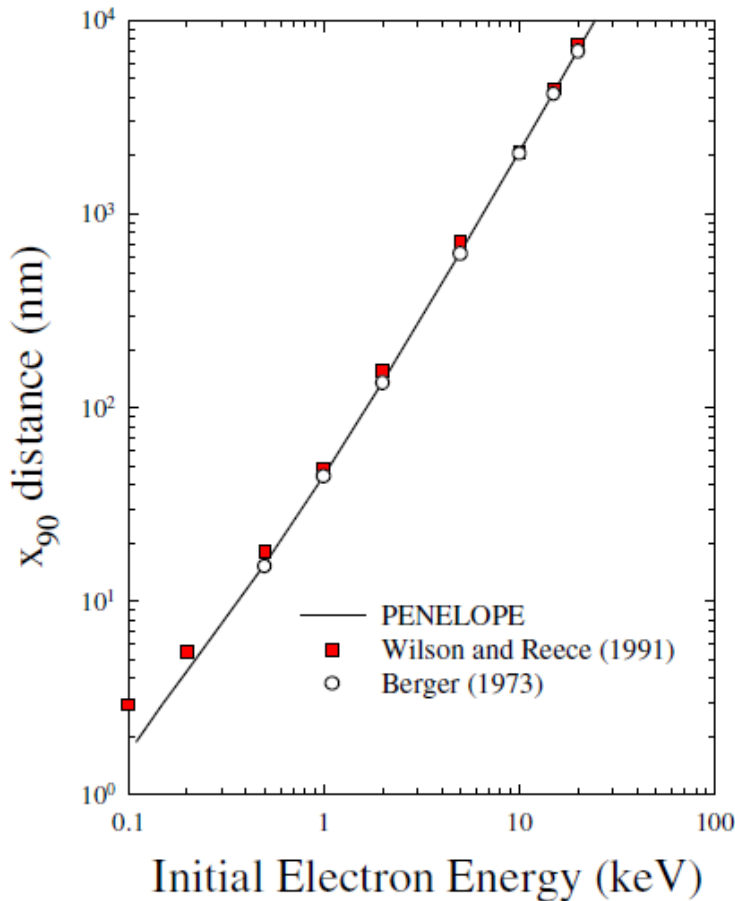


absorbing guest:
Molecular dispesion,
 $d < L_e$
**Uniform dose
distribution**



nanoscale contrast:
Nanoscale dispesion,
 $R \sim L_e, d > L_e$
**Non-uniform dose
distribution**

Microdosimetry: pathlength of keV electrons



$$L_e \sim X_{90}:$$

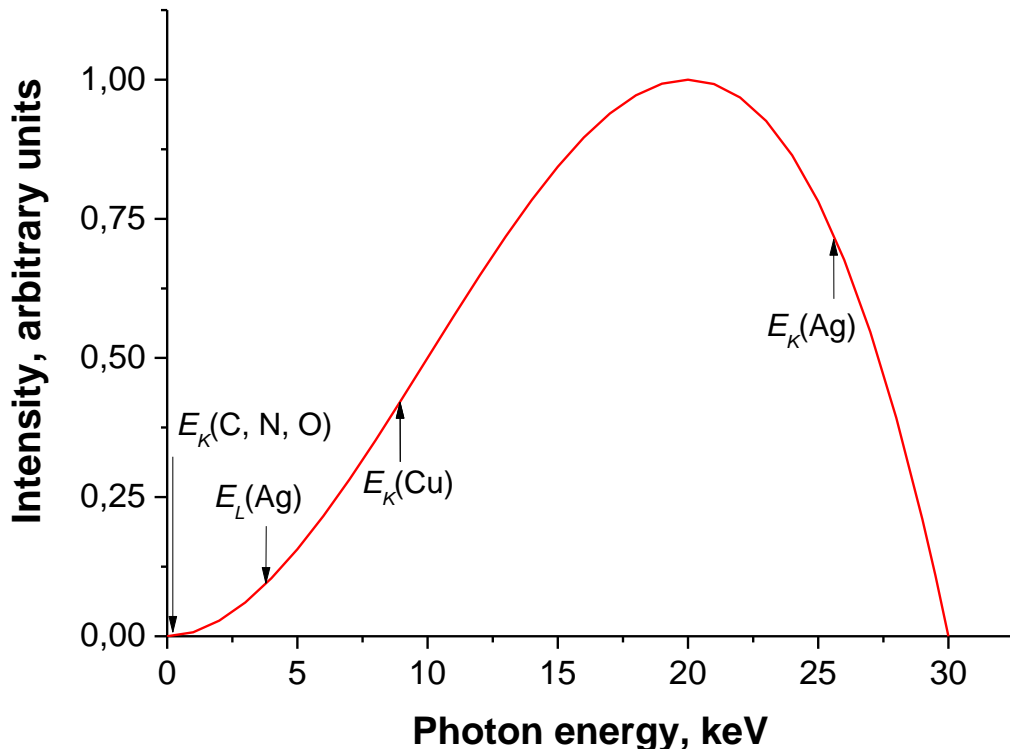
$$\begin{aligned} E_e = 1 \text{ keV} &\rightarrow L_e = 50 \text{ nm} \\ E_e = 2 \text{ keV} &\rightarrow L_e = 150 \text{ nm} \\ E_e = 5 \text{ keV} &\rightarrow L_e = 700 \text{ nm} \\ E_e = 10 \text{ keV} &\rightarrow L_e = 2 \mu\text{m} \end{aligned}$$

Expected consequence:
local dose rate enhancement at nano- and micro-scale due to the heavy atom effect

Distance corresponding to 90% absorption of the initial electron kinetic energy in water

(taken from: Stewart, R. D.; Wilson, W. E.; McDonald, J. C.; Strom, D. J. *J. Phys. Med. Biol.* 2002, 47, 79-88).

Braking radiation (Bremsstrahlung): the action spectrum and spectral selectivity



Light elements (C,N,O):

only K-absorption, low efficiency, $E_e > 10$ keV

Cu:

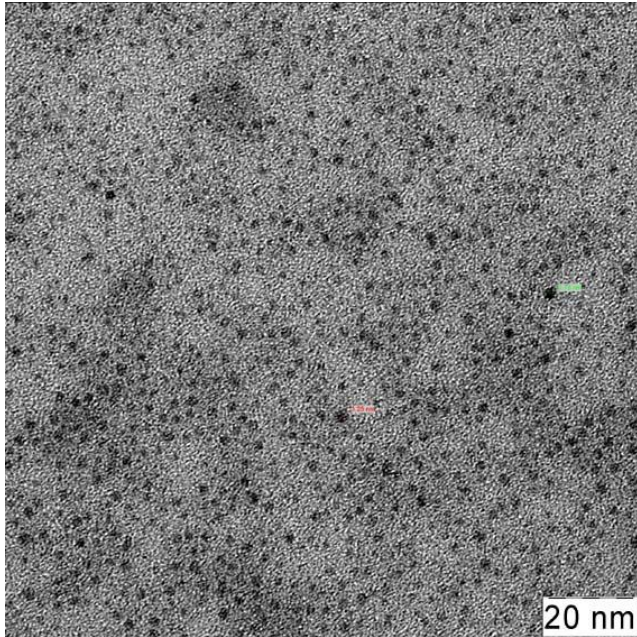
mainly K-absorption, high efficiency, $E_e \sim 1 - 10$ keV

Ag:

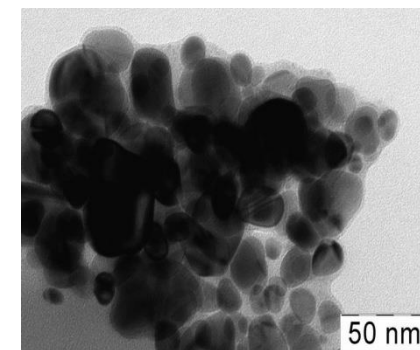
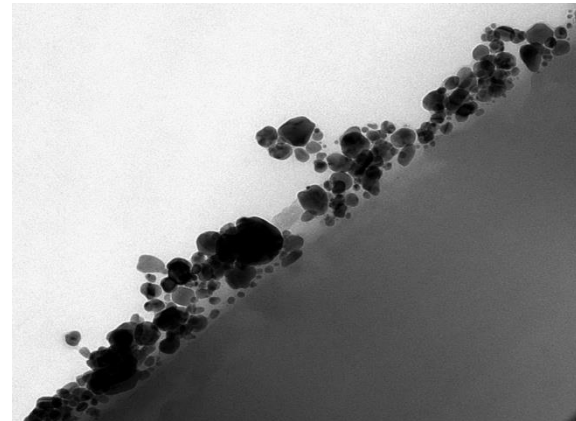
both K and L-absorption, high efficiency, bimodal distribution of E_e

Energy spectrum of braking radiation produced by an X-ray tube with tungsten anode at $U = 30$ kV ($E_0 = 30$ keV)

Comparison of the nanostructure pattern: evidence for nanoscale local effects



Gamma-irradiation:
uniformly distributed small copper
nanoparticles (2 – 4 nm)
(A.A. Zezin, V.I. Feldman et. al. *Nucl.
Instr. Meth. Phys. Res. B*, 2007, **265**, 334)



X-irradiation: large copper nanoparticles
mainly in the surface layer
(Feldman et al., *J. Phys. Chem. C*, 2013, 117, 7286)

It is NOT the effect of macroscopic penetration depth: half-attenuation length for
20-keV X-rays is ca. 1cm in water and polymers (incomparable with film thickness)

Estimation of scale: the action spectrum and photoelectron distribution

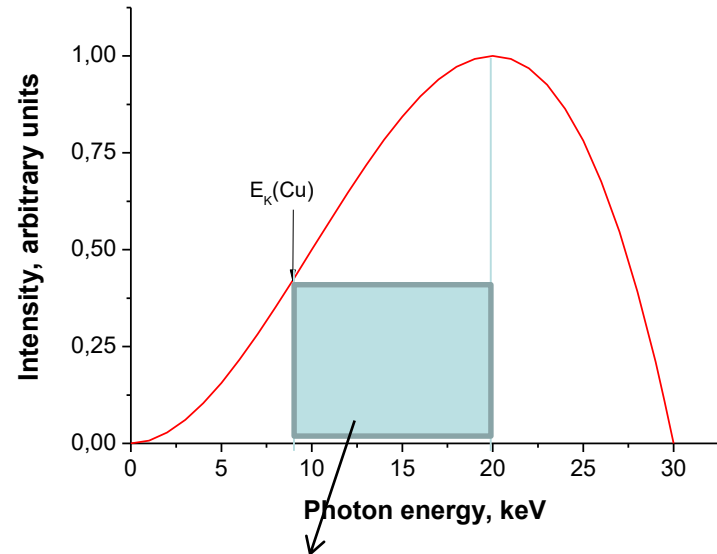
$$\tau_a \approx kZ^4/E_p^3 \quad (E_e > E_k) \quad E_e \approx E_p - E_K$$

- Intensity distribution for incident photons:
 - $Y(E_p) = C(E_0 - E_p)E_p^2$
 - Probability of absorption at $E = E_p$:
 - $P(E_p) = B(E_0 - E_p)/E_p$

$$N(E_0) = \int_{E_K}^{E_0} P(E_p) dE_p = B(E_0 \ln \frac{E_0}{E_K} - E_0 + E_K)$$

Contribution from photons with $E_p < E'$

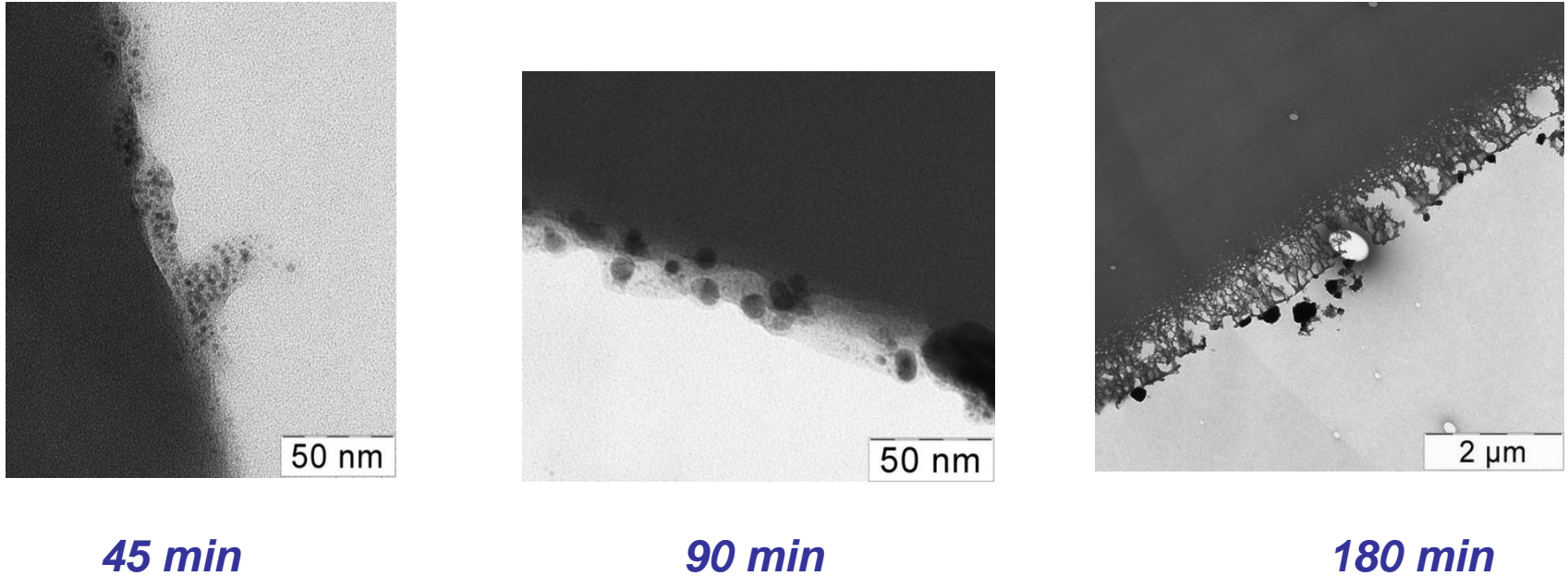
$$\frac{N(E')}{N(E_0)} = \frac{E_0 \ln \frac{E'}{E_k} - E' + E_K}{E_0 \ln \frac{E_0}{E_k} - E_0 + E_K}$$



For $E_0 = 30$ keV
80% absorbed photons in the
range of $E_p = 9 - 20$ keV →

Photoelectrons with $E_e = 0 - 10$ keV
(an average $L_e \sim 700$ nm)

Estimation of scale: comparison with experiment



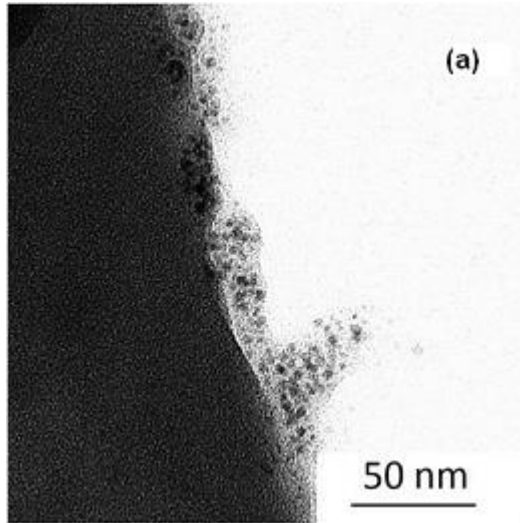
45 min

90 min

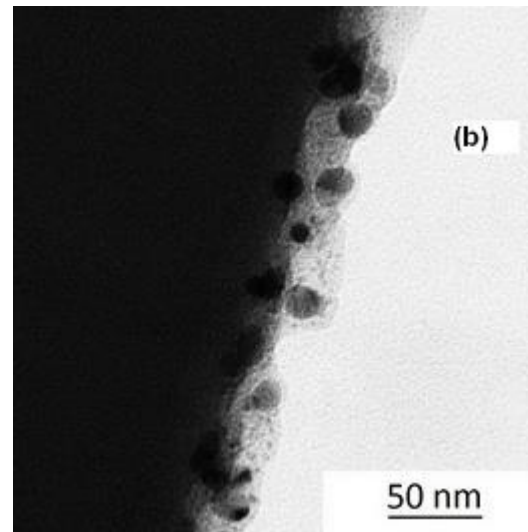
180 min

Film evolution with increasing time of X-ray irradiation: formation of small nanoparticles → surface filling with larger nanoparticles → etching
Etching depth ~ 700 nm (close to L_e)
(Feldman et al., *J. Phys. Chem. C*, 2013, 117, 7286)

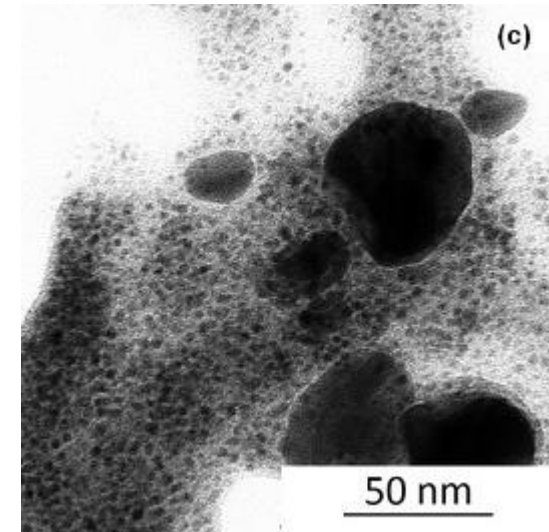
A deeper insight: understanding the nanostructure pattern and its evolution



(a)



(b)



(c)

Initial stage:

- high dose rate in the film and solution surface layer (**within L_e**) in comparison with bulk solution

- maximum reduction rate in the **subsurface layer** (reducing species come from solution !)

Formation of relatively small nanoparticles predominantly in the subsurface layer due to interplay of heavy atom effect and diffusion

Second stage:

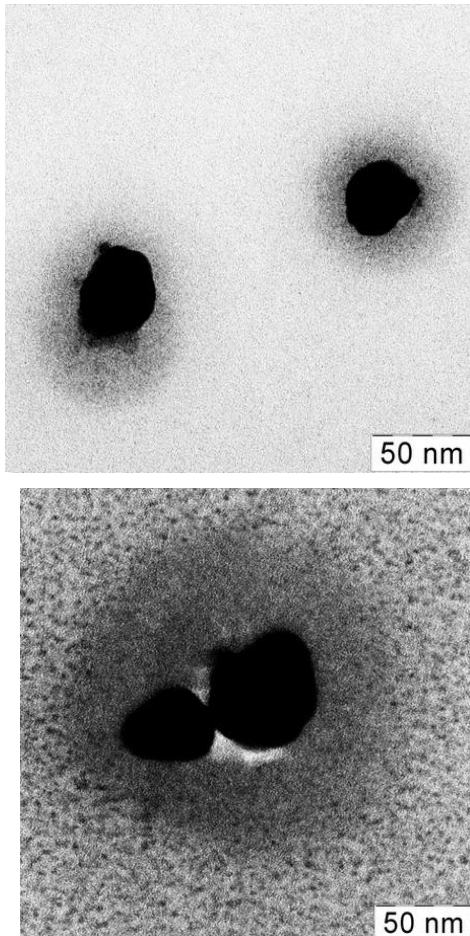
- growth of nanoparticles at the surface due to **self-enhancement of local dose rate** by existing nanoparticles;
- partial **shielding** of the film by metal

Final stage :

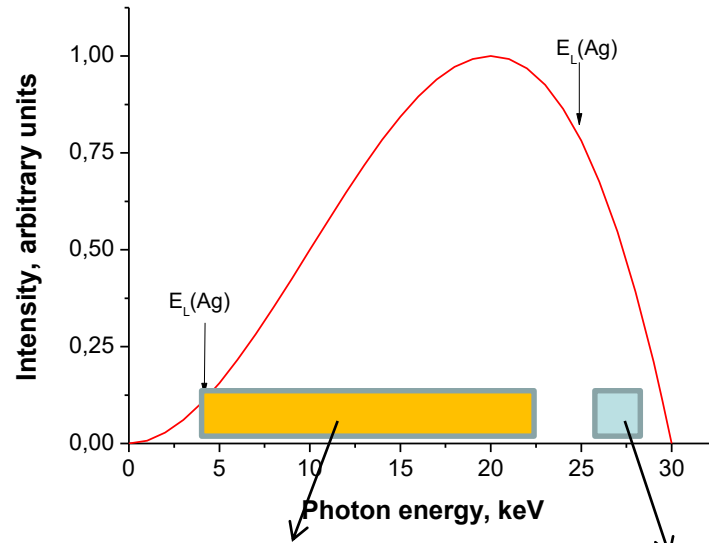
- film degradation (etching) due to very high local dose rate

(Feldman et al., *J. Phys.Chem. C*, 2013, 117, 7286)

The nature of clouds: radiation-chemical contrast



Progressive formation of **clouds** from secondary nanoparticles upon irradiation of Ag –PAA-PEI system



Major interactions with L-electrons (70% absorbed photons)

$$E_p = 3.8 - 22 \text{ keV}$$
$$E_e = 0 - 19 \text{ keV}$$

L_e (average) $\sim 2 - 3 \mu\text{m}$

Major interactions with K-electrons (20% absorbed photons)

$$E_p = 25.5 - 28 \text{ keV}$$
$$E_e = 0 - 2.5 \text{ keV}$$

L_e (average) $\sim 30 - 50 \text{ nm}$

(Feldman et al., *J. Phys.Chem. C*, 2013, 117, 7286)

Получение полимерных микрогелей и наногелей радиационно-химическим способом

Межмолекулярное сшивание (высокие концентрации полимера, низкие мощности дозы)

Гомогенная кинетика рекомбинации:

$$1/C(t) - 1/C_0 = kt$$

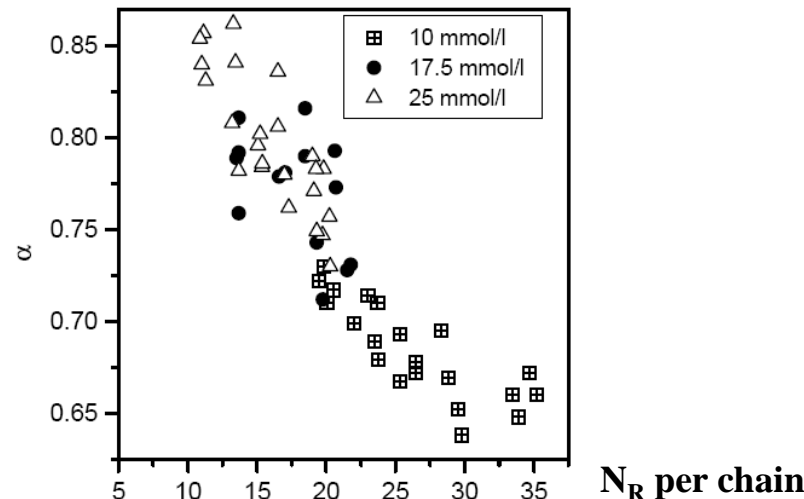
- Макрогели:** (“wall-to-wall”) - полностью нерастворимые образцы (образуются при $D > D_g$, D_g – доза гелеобразования, в среднем 1 сшивка на макромолекулу)
- Микрогели:** при $D < D_g$

Внутримолекулярное сшивание (низкие концентрации полимера, высокие мощности дозы) → наногели

Негомогенная кинетика [формализм $k(t)$]:

$$k(t) = Bt^{\alpha-1} \quad (\text{A. Plonka, 1991})$$
$$1/C(t) - 1/C_0 = Bt^\alpha/\alpha$$

Преимущества: безреагентный метод (особенно важно для медицинских целей)



Импульсный радиолиз растворов акриловой кислоты:
изменение кинетического режима
(P. Ulanski et al., *Radiat. Phys. Chem.*, 2002, **63**, 533)

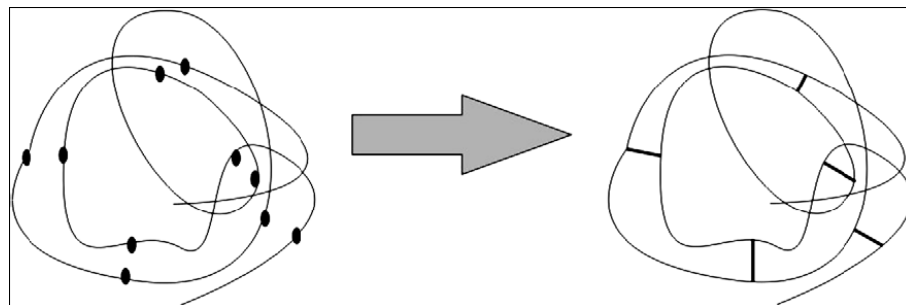


Схема образования наногелей при высокой мощности дозы
(from A.G. Chmielewski et al., *Nucl. Instr. Meth. Phys. Res. B*, 2007, **265**, 339)

Применение радиационно-сшитых микро- и наногелей

- Функциональные материалы с иммобилизованными активными компонентами
- Биосовместимые материалы
- Системы доставки лекарств
- Мембранные материалы
- Сорбенты

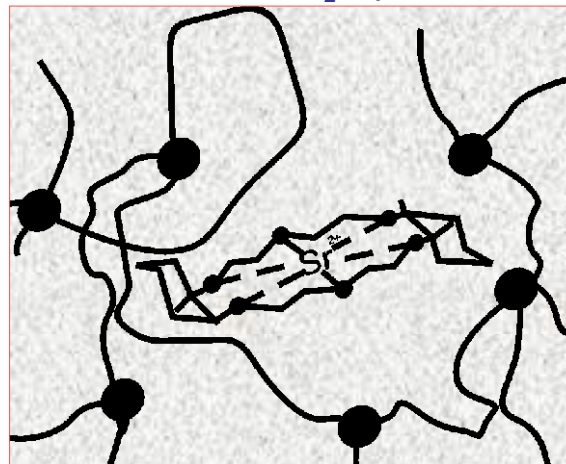
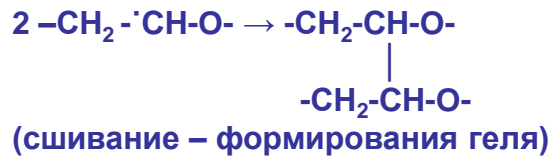


Схема получения функционального гидрогеля, содержащего физически иммобилизованный краун-эфир для селективной сорбции ионов стронция
(Zakurdaeva et al., J. Radioanal. Nucl. Chem., 2004, 261, 245)